

Жесткие процессы в подходе реджезации партонов.

М. А. Нефедов¹,
научный руководитель: В. А. Салеев¹

15 Июня 2016
ОИЯИ, ЛТФ им. Н. Н. Боголюбова (Дубна)

¹ федеральное государственное автономное образовательное учреждение высшего образования «Самарский национальный исследовательский университет имени академика С.П. Королёва» (Самарский университет)

План доклада.

1 Введение

- Коллинеарная партонная модель, многомасштабные жесткие процессы
- Мультиреджевская кинематика, реджезация амплитуд
- Эффективное действие и Фейнмановские правила
- Уравнение БФКЛ и k_T -факторизация,
- Проблемы подхода БФКЛ, TMD-факторизация, подход реджезации партонов (ПРП)
- **Цели и задачи настоящей работы**

2 Жесткие процессы в ПРП

- Древесные амплитуды $2 \rightarrow 2$ и $2 \rightarrow 3$ в ПРП
- Парное рождение адронных струй в ЛП ПРП
- Процесс Дрелла-Яна в ЛП ПРП
- Совместное фоторождение струи и прямого фотона в ЛП ПРП
- Парное рождение изолированных прямых фотонов в неполном СЛП ПРП

3 Феноменология рождения тяжелых кваркониев в ЛП ПРП

- Гипотеза НРКХД-факторизации
- Рождение чармониев и боттомониев в ЛП ПРП

4 Заключение

Судаковские переменные.

Свяжем базисные вектора Судаковского разложения с импульсами протонов $P_{1,2}^2 = 0$, $2P_1 P_2 = S \Rightarrow n_-^\mu = 2P_1^\mu / \sqrt{S}$, $n_+^\mu = 2P_2^\mu / \sqrt{S}$, $n^+ n^- = 2$:

$$k^\mu = \frac{1}{2}(k^+ n_-^\mu + k^- n_+^\mu) + k_T^\mu,$$

где $k^\pm = n^\pm k = (k^0 \pm k^3)_{\text{CM}}$, $k^\pm = k_\pm$, $n_\pm^\mu = (n^\pm)^\mu$,

$$kq = \frac{1}{2}(k^+ q^- + k^- q^+) - \mathbf{k}_T \mathbf{q}_T,$$

$k^2 = k^+ k^- - \mathbf{k}_T^2$. Быстрота:

$$y = \frac{1}{2} \log \left(\frac{k^+}{k^-} \right),$$

Псевдобыстрота: $\eta = -\log \tan(\theta/2)$, для безмассовых частиц

$$\eta = y.$$

Жесткие процессы.

Разделения пертурбативной и непертурбативной динамики КХД можно достичь, изучая **инклюзивные жесткие процессы**, например:

$$p(P_1) + p(P_2) \rightarrow Y + X,$$

где $S = (P_1 + P_2)^2 \simeq 2P_1 P_2 \gg \Lambda_{QCD}^2$, и жесткое конечное состояние Y характеризуется большим энергетическим масштабом $Q^2 \gg \Lambda_{QCD}^2$. В ЛП, состояние Y можно получить в **партонном подпроцессе**:

$$i(q_1) + j(q_2) \rightarrow Y,$$

где $i, j = q, \bar{q}, g$ — партоны, $q_{1,2}^2 \ll Q^2 \Rightarrow q_{1,2}^\mu = x_{1,2} P_{1,2}^\mu$

Коллинеарная факторизация.

$$d\sigma = \sum_{i,j} \int_0^1 dx_1 f_i(x_1, \mu_F^2) \int_0^1 dx_2 f_j(x_2, \mu_F^2) \cdot d\hat{\sigma}_{ij}(x_1, x_2, \mu_R^2, \mu_F^2),$$

где $d\hat{\sigma}$ – коэффициент жесткого рассеяния, $f_i(x, \mu^2)$ – партонные функции распределения (ПФР). Выбор $\mu_R \sim \mu_F \sim Q^2$ устраняет поправки усиленные $\log Q^2/\mu_{F,R}^2$ из $d\hat{\sigma} \Rightarrow$ ДГЛАП эволюция ПФР.

Достоинства:

- Теорема факторизации для некоторых одномасштабных наблюдаемых [Collins, 2011]: $F_2(x, Q^2)$, $d\sigma_{DY}/dQ^2 dy$, ...
- Процедура вычисления следующих поправок **очень хорошо разработана** : ЛП, СЛП, ССЛП, ...

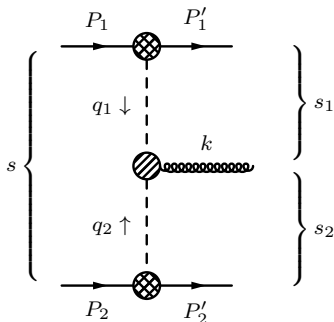
Проблемы:

- Многомасштабные наблюдаемые ($Q_1 \gg Q_2 \gg \Lambda_{QCD}$) требуют пересуммирования логарифмических $[\alpha_s \log Q_1/Q_2]^n$ и дважды-логарифмических $[\alpha_s \log^2 Q_1/Q_2]^n$ поправок. Пример – распределение $d\sigma/dQ^2 dp_T$ в процессе Дрелла-Яна.
- Что происходит при высоких энергиях? Физика малых $x \sim Q/\sqrt{S}$, **Реджевский предел:**

$$\sqrt{S} \gg Q \gg \Lambda_{QCD}.$$

Мультиреджевская кинематика.

При высоких энергиях, в амплитуде процесса $2 \rightarrow 2 + n$ доминируют диаграммы с t -канальными обменами и мультиреджевской (МРК) или квазимультиреджевской (КМРК) кинематикой конечного состояния.



Двойной реджевский предел (МРК):

$$s_1 \gg -q_1^2, \quad s_2 \gg -q_2^2,$$

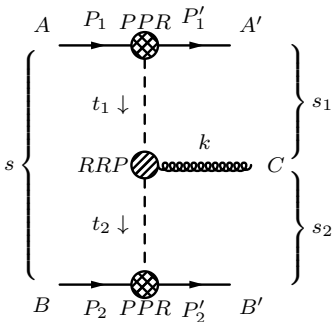
введем $z_1 = q_1^+ / P_1^+$, $z_2 = q_2^- / P_2^-$.

Свойства МРК:

- $y(P'_1) \rightarrow +\infty$, $y(P'_2) \rightarrow -\infty$, $y(k)$ – конечна,
- $z_1 \sim z_2 \sim z \ll 1$, $|\mathbf{k}_T| \ll \sqrt{s}$ (“Физика малых z ”),
- $q_1^+ \sim |\mathbf{q}_{T1}| \sim O(z) \gg q_1^- \sim O(z^2)$,
 $q_2^- \sim |\mathbf{q}_{T2}| \sim O(z) \gg q_2^+ \sim O(z^2)$.

Реджезация амплитуд в КХД.

При высоких энергиях, в амплитуде процесса $2 \rightarrow 2 + n$ доминируют диаграммы с t -канальными обменами и мультиреджевской (МРК) или квазимультiredжевской (КМРК) кинематикой конечного состояния.



В МРК, амплитуда $2 \rightarrow 3$ факторизуется:

$$A_{AB}^{A'B'C} = \gamma_{A'A}^{R_1} \cdot \left(\frac{s_1}{s_0} \right)^{\omega(t_1)} \frac{-i}{2t_1} \times \\ \Gamma_{R_1 R_2}^C(q_1, q_2) \cdot \frac{-i}{2t_2} \left(\frac{s_2}{s_0} \right)^{\omega(t_2)} \cdot \gamma_{B'B}^{R_2}$$

$\Gamma_{R_1 R_2}^C(q_1, q_2)$ - RRP эфф. вершина рождения,

$\gamma_{A'A}^R$ - эфф. вершина PPR-рассеяния,

$\omega(t)$ - Редже траектория.

Эту асимптотику можно получить двумя способами:

- Подход БФКЛ (унитарность, перенормируемость и калибровочная инвариантность), см. [Ioffe, Fadin, Lipatov, 2010].
- Подход эфф. действия [Lipatov, 1995].

Структура эффективной теории.

Конусные производные:

$$\partial_{\pm} = n_{\pm}^{\mu} \partial_{\mu} = 2 \frac{\partial}{\partial x^{\mp}}$$

Лагранжиан эффективной теории [Lipatov, 1995]:

$$L = L_{\text{kin}} + \sum_i \left[L_{QCD}^{(y_i \leq y \leq y_{i+1})} + L_R^{(y_i \leq y \leq y_{i+1})} \right],$$

в каждом интервале по быстрой $y_i \leq y \leq y_{i+1}$ определена своя копия лагранжиана КХД $L_{QCD}^{(y_i \leq y \leq y_{i+1})}$. Поля кварков и глюонов живущие в разных интервалах по быстрой взаимодействуют посредством обмена реджезованными глюонами ($R_{\pm}^a = R_{\pm}^a T_a$):

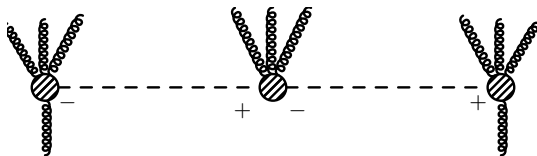
$$L_{\text{kin}} = 2 \partial_{\mu} R_{+}^a \partial^{\mu} R_{-}^a,$$

на поля реджеонов наложено кинематическое ограничение (\Leftrightarrow КМПК):

$$\partial_{-} R_{+} = \partial_{+} R_{-} = 0 \Rightarrow$$

R_{+} переносит (k_{+}, \mathbf{k}_T) а R_{-} переносит (k_{-}, \mathbf{k}_T) .

Индукцированные взаимодействия для реджезованных глюонов.



Индукцированные взаимодействия частиц и реджеонов:

$$L_R^{(y_1 < y < y_2)} = \frac{2i}{g_s} \text{tr} \left[R_+ \partial_\rho^2 \partial_- W \left[A_-^{(y_1 < y < y_2)} \right] + R_- \partial_\rho^2 \partial_+ W \left[A_+^{(y_1 < y < y_2)} \right] \right],$$

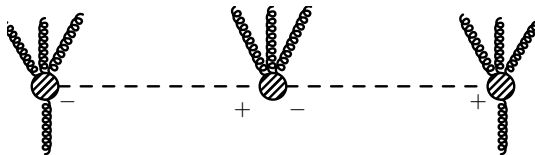
где

$$W[A_\pm] = P \exp \left[\frac{-ig_s}{2} \int_{-\infty}^{x_\mp} dx'_\mp A_\pm(x_\pm, x'_\mp, \mathbf{x}_T) \right] = \left(1 + ig_s \partial_\pm^{-1} A_\pm \right)^{-1}$$

– Вильсоновская P -экспонента. Интегралы упорядоченные по x^\pm :

$$\frac{1}{2^n} \int_{-\infty}^{x_\mp} dx_1^\mp f_1(x_1^\mp) \int_{-\infty}^{x_1^\mp} dx_2^\mp f_2(x_2^\mp) \dots \int_{-\infty}^{x_{n-1}^\mp} dx_n^\mp f_n(x_n^\mp) = \underbrace{\partial_\pm^{-1} f \dots \partial_\pm^{-1} f}_n.$$

Индукцированные взаимодействия для реджезованных глюонов.



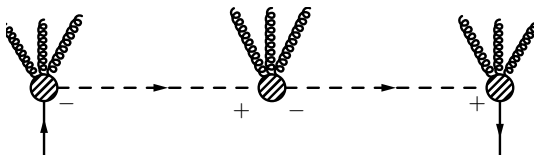
Индукцированные взаимодействия частиц и реджеонов:

$$L_R^{(y_1 < y < y_2)} = \frac{2i}{g_s} \text{tr} \left[R_+ \partial_\rho^2 \partial_- W \left[A_-^{(y_1 < y < y_2)} \right] + R_- \partial_\rho^2 \partial_+ W \left[A_+^{(y_1 < y < y_2)} \right] \right],$$

разложение P -экспоненты в ряд генерирует бесконечное число индуцированных вершин:

$$\begin{aligned} L_R = & 2 \text{tr} \left[(R_+ \partial_\sigma^2 A_- + R_- \partial_\sigma^2 A_+) + \right. \\ & (-ig_s)(\partial_\sigma^2 R_+)(A_- \partial_-^{-1} A_-) + (-ig_s)^2 (\partial_\sigma^2 R_+)(A_- \partial_-^{-1} A_- \partial_-^{-1} A_-) + \\ & (-ig_s)(\partial_\sigma^2 R_-)(A_+ \partial_+^{-1} A_+) + (-ig_s)^2 (\partial_\sigma^2 R_-)(A_+ \partial_+^{-1} A_+ \partial_+^{-1} A_+) \\ & \left. + O(g_s^3) \right] \end{aligned}$$

Эффективное действие для реджезованных кварков.



Эффективное действие для реджезованных кварков [Lipatov, Vyazovsky, 2001]:

$$L_Q = \bar{Q}_- i\hat{\partial} \left(Q_+ - W^\dagger [A_+] \psi \right) + \bar{Q}_+ i\hat{\partial} \left(Q_- - W^\dagger [A_-] \psi \right) + \text{h.c.},$$

где $\hat{p} = p_\mu \gamma^\mu$, КМРК кинематические ограничения:

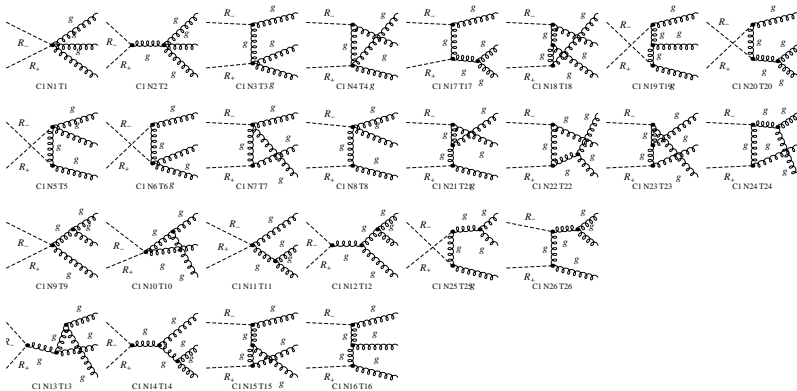
$$\begin{aligned} \partial_\pm Q_\mp &= \partial_\pm \bar{Q}_\mp = 0, \\ \hat{n}^\pm Q_\mp &= 0, \quad \bar{Q}_\mp \hat{n}^\pm = 0. \end{aligned}$$

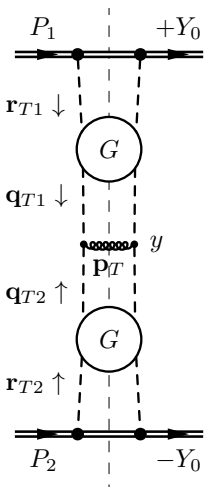
Реализация в FeynArts.

Был написан файл-описание модели ReggeQCD для пакета FeynArts, реализующий правила Фейнмана эффективной теории вплоть до $O(g_s^3)$.

$$R_- R_+ \rightarrow g g g$$

$$R_- R_+ \rightarrow g g g$$



Уравнение БФКЛ и k_T -факторизация.

$$G = \begin{array}{|c|} \hline \text{---} \\ \hline \text{---} \\ \hline \end{array} + \begin{array}{|c|} \hline \text{---} \\ \hline \text{---} \\ \hline \end{array} Y + \begin{array}{|c|} \hline \text{---} \\ \hline \text{---} \\ \hline \end{array} y_1 + \begin{array}{|c|} \hline \text{---} \\ \hline \text{---} \\ \hline \end{array} y_2 + \dots$$

Уравнение БФКЛ [БФКЛ, 1978]:

$$\frac{\partial}{\partial Y} G(\mathbf{q}_{T1}, \mathbf{q}'_{T1}, Y) = \hat{K}_{BFKL}(\mathbf{q}_T, \mathbf{r}_T) * G(\mathbf{r}_T, \mathbf{q}'_{T1}, Y),$$

где $Y \sim \log 1/x$. В ЛП БФКЛ верна формула k_T -факторизации для сечения:

$$d\sigma = \Phi_g(x_1, \mathbf{q}_{T1}^2) * \Phi_g(x_2, \mathbf{q}_{T2}^2) * d\hat{\sigma}(x_1, x_2, \mathbf{q}_{T1}, \mathbf{q}_{T2}),$$

где $\Phi_g(x, t)$ – неинтегрированная ПФР (нПФР) связана с обычной ПФР:

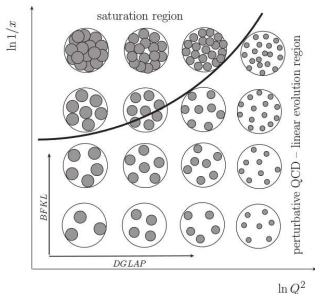
$$\int_0^{\mu^2} dt \Phi_g(x, t) = x f_g(x, \mu^2).$$

В реджевском пределе $x_{1,2} \sqrt{S} \sim |\mathbf{q}_{T1,2}|$ и партоны на входе в жесткий процесс **реджезованные**.

Подход БФКЛ. Ожидания.

[BFKL 1978; Gribov, Levin, Ryskin 1979]

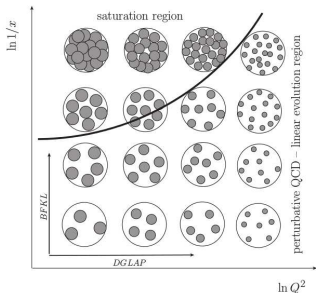
- В области малых x , доминируют $\log 1/x$.
- Достаточно знать \hat{K}_{BFKL} в фиксированном порядке.
- Эффекты реджезации кварков – сублидирующие. При малых x можно не вводить кварковую нПФР.



Подход БФКЛ. Ожидания и проблемы.

[BFKL 1978; Gribov, Levin, Ryskin 1979]

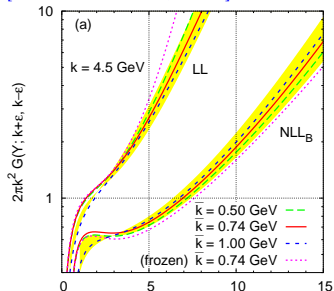
- В области малых x , доминируют $\log 1/x$.
- Достаточно знать \hat{K}_{BFKL} в фиксированном порядке.
- Эффекты реджезации кварков – сублидирующие. При малых x можно не вводить кварковую нПФР.



[Fadin, Lipatov, 1998; Camici, Ciafaloni, 1998]

- В СЛП для \hat{K}_{BFKL} появляются поправки $\sim \alpha_s^2 \log^2 \mathbf{q}_T^2$.
- Требуется пересуммирование (дважды-логарифмический предел ДГЛАП $x \rightarrow 0, Q^2 \rightarrow \infty$ [Salam, 1998]).
- Сублидирующие эффекты важны.

[Ciafaloni *et al.*, 2003]



TMD-факторизация.

Процесс Дрелла-Яна:

$$p + p \rightarrow [\mu^+ \mu^-](Q^2, q_T) + X,$$

формула Transverse Momentum Dependent-факторизации [Collins, 2011] в q_T -пространстве:

$$\frac{d\sigma_{DY}}{dq_T^2 dQ^2} = \underbrace{F_1(x_1, \mathbf{q}_{T1}^2, \mu_F^2, \text{rapidity scales}) * F_2(\dots) * H(x_1, x_2)}_{q_T^2 \ll Q^2} + [\text{high-}q_T \text{ part}].$$

Цель – пересуммирование Судаковских двойных логарифмов в области $q_T \ll Q$ [Dokshitzer, *et. al.*, 1978; Collins, *et. al.* 1985]:

$$\frac{d\sigma_{DY}}{dq_T^2 dQ^2} \sim \frac{1}{q_T^2} \exp \left[-\frac{\alpha_s}{2\pi} C_F \log^2 \frac{q_T^2}{Q^2} \right] = \frac{1}{q_T^2} \left(\frac{q_T^2}{Q^2} \right)^{-\frac{\alpha_s}{2\pi} C_F \log \frac{q_T^2}{Q^2}}$$

Область больших q_T рассматривается порядок-за-порядком в КПМ.

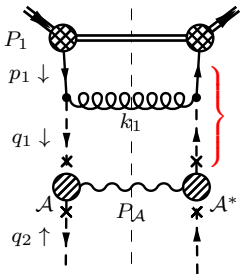
Подход реджезации партонов

ПРП – **гибридная схема факторизации**, объединяющая эффекты TMD-факторизации при малых $p_T \ll Q^2$ и k_T (БФКЛ)-факторизацию при больших $p_T \sim x\sqrt{S}$.

Недавние работы объединяющие k_T и TMD-факторизацию:

- I. Balitsky, A. Tarasov, *Rapidity evolution of gluon TMD from low to moderate x* , [JHEP **10** \(2015\), 017, \[1505.0215\]](#)
- S. Forte, C. Muselli, *High energy resummation of transverse momentum distributions: Higgs in gluon fusion*, [\[1511.05561\]](#)
- S. Marzani, *Combining Q_T and small- x resummations*, [\[1511.06039\]](#)
- O. Gituliar, M. Hentschinski, G. Kutak, *TMD quark splitting functions in k_T -factorization: real corrections*, [\[1511.08439\]](#)

Формула факторизации в ЛП.



Рассматриваем процесс:

$$q(p_1) + \bar{q}(p_2) \rightarrow Y(P_A) + g(k_1) + g(k_2).$$

Удерживая точную кинематику в отмеченной части диаграммы:

$$q_1^\mu = z_1 p_1^+ \frac{n_-^\mu}{2} - \frac{\mathbf{q}_{T1}^2}{(1-z_1)p_1^+} \frac{n_+^\mu}{2} + q_{T1}^\mu,$$

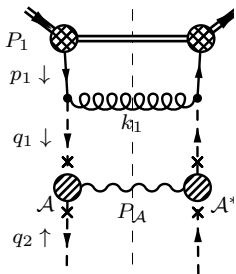
$$k_1^\mu = (1-z_1)p_1^+ \frac{n_-^\mu}{2} + \frac{\mathbf{q}_{T1}^2}{(1-z_1)p_1^+} \frac{n_+^\mu}{2} - q_{T1}^\mu,$$

получаем следующее **модифицированное МРК-приближение** (ср. с подходом HEJ [J. R. Andersen, *et. al.*, 2010], а так же [F. Hautmann, *et. al.*, 2012]) для МЭ:

$$|\overline{\mathcal{M}}|^2 = \left(\frac{C_F}{2N_c} g_s^2 \right)^2 \text{tr} \left[\frac{\hat{n}^-}{2} \underbrace{\frac{\hat{n}^+}{2} \frac{\hat{q}_1}{q_1^2} \gamma_\mu^{(-)}(-q_1, -k_1) \hat{p}_1 \gamma_\mu^{(-)}(-q_1, -k_1) \frac{\hat{q}_1}{q_1^2} \frac{\hat{n}^+}{2}}_{p_1^+ \hat{n}^+ \frac{1}{q_1^2} \frac{1+z_1^2}{1-z_1}} \frac{\hat{n}^-}{2} \mathcal{A}^* (\dots) \mathcal{A} \right]$$

где $\gamma_\mu^{(-)}(q, k) = \gamma_\mu + \hat{q} \frac{n_\mu^+}{k^+}$.

Формула факторизации в ЛП.



Построенное мМРК приближение является точным как в **коллинеарном пределе** ($|\mathbf{q}_{T1,2}| \rightarrow 0$, z -произвольное) так и в **реджевском пределе** ($z \rightarrow 0$, $|\mathbf{q}_{T1,2}|$ -произвольное).

функция расщепления	ответ в мМРК
$P_{qq}(z)$	$C_F \frac{1+z^2}{1-z}$
$P_{qg}(z)$	$\frac{1}{2} [z^2 + (1-z)^2]$
$P_{gq}(z)$	$2C_F \frac{(1-z)^2}{z}$
$P_{gg}(z)$	$2C_A \frac{(1-z)}{z}$

мМРК-приближение для квадрата МЭ в общем случае:

$$\overline{|\mathcal{M}_{ij}|^2} = \frac{16(2\pi)^4}{q_1^2 q_2^2} \left(\frac{\alpha_s}{2\pi} \right)^2 \frac{P_{ik}(z_1) P_{jl}(z_2)}{z_1 z_2} \overline{|\mathcal{A}_{kl}|^2}_{PRA},$$

где $\overline{|\mathcal{A}_{kl}|^2}_{PRA}$ - коэффициент жесткого рассеяния с **реджезованными** партонами в начальном состоянии. Предписания для спиноров реджезованных кварков - $u(q^\parallel)$ ($v(q^\parallel)$), нормировка амплитуды с реджезованными глюонами

в начальном состоянии - $\frac{q_1^+ q_2^-}{4\sqrt{\mathbf{q}_{T1}^2 \mathbf{q}_{T2}^2}}$.

Подставляя $|\overline{\mathcal{M}}|^2$ в формулу факторизации КПМ ($p_1^+ = \tilde{x}_1\sqrt{S}$, $p_2^- = \tilde{x}_2\sqrt{S}$), получаем:

$$d\sigma = \sum_{i,j} \left[\int \frac{dk_1^+ d^2\mathbf{k}_{T1}}{2k_1^+ (2\pi)^3} \frac{dk_2^- d^2\mathbf{k}_{T2}}{2k_2^- (2\pi)^3} \right] \int_0^1 \frac{d\tilde{x}_1}{\tilde{x}_1} \tilde{x}_1 f_i(\tilde{x}_1, \mu^2) \int_0^1 \frac{d\tilde{x}_2}{\tilde{x}_2} \tilde{x}_2 f_j(\tilde{x}_2, \mu^2) d\hat{\sigma}_{CPM},$$

после замены переменных $(\tilde{x}_{1,2}, k_{1,2}^\pm) \rightarrow (x_{1,2}, z_{1,2})$, где $q_{1,2}^\pm = x_{1,2}\sqrt{S} = \tilde{x}_{1,2}z_{1,2}\sqrt{S}$ получаем (**Потоковый фактор** $2S\tilde{x}_1\tilde{x}_2z_1z_2 = 2Sx_1x_2$!):

$$d\sigma = \sum_{i,j} \int_0^1 \frac{dx_1}{x_1} \int \frac{d^2\mathbf{q}_{T1}}{\pi} \tilde{\Phi}_i(x_1, t_1, \mu^2) \int_0^1 \frac{dx_2}{x_2} \int \frac{d^2\mathbf{q}_{T2}}{\pi} \tilde{\Phi}_j(x_2, t_2, \mu^2) d\hat{\sigma}_{PRA},$$

где $t_{1,2} = \mathbf{q}_{T1,2}^2 = -q_{T1,2}^2$, и “древесные нПФР”:

$$\tilde{\Phi}_i(x, t, \mu^2) = \frac{1}{t} \int_x^1 dz \frac{\alpha_s}{2\pi} P_{ij}(z) \frac{x}{z} f_j\left(\frac{x}{z}, \mu^2\right),$$

содержат коллинеарную сингулярность при $t \rightarrow 0$ и ИК-сингулярность при $z \rightarrow 1$.

нПФР Кимбера-Мартина-Рыскина.

ЛП нПФР [Kimber, Martin, Ryskin, Watt, 2000]:

$$\Phi_i(x, t, \mu^2) = \frac{1}{t} \int_0^{1-\Delta} dz T_q(t, \mu^2) \frac{\alpha_s(t)}{2\pi} P_{ij}(z) \frac{x}{z} f_j\left(\frac{x}{z}, t\right),$$

формфактор Судакова:

$$T_i(t, \mu^2) = \exp \left[- \sum_j \int_0^{1-\Delta} dz' P_{ij}(z') \int_t^{\mu^2} \frac{dk_T^2}{k_T^2} \frac{\alpha_s(k_T^2)}{2\pi} \right],$$

регуляризует коллинеарную расходимость. ИК-расходимость регуляризована обрезанием КМР $\Delta = \frac{\sqrt{t}}{\mu + \sqrt{t}}$, которое получается из условия **упорядочения по быстроте** последнего партона излученного в ходе эволюции нПФР и жесткого процесса. нПФР КМР удовлетворяет условию нормировки:

$$\int^{\mu^2} dt \Phi_i(x, t, \mu^2) = x f_i(x, \mu^2).$$

СЛП нПФР КМР [Martin, Ryskin, Watt, 2010] получается при помощи:

- использования СЛП коллинеарных ПФР,
- использования точной виртуальности партона в t -канале:
 $t \rightarrow q^2 = t/(1-z)$ в Φ и T ,
- использования СЛП функций расщепления ДГЛАП.

Цели и задачи настоящей работы

Цель работы: применение ПРП в ЛП к ряду новых процессов и развитие техники вычисления реальных СЛП поправок в ПРП.

Задачи:

- Вывод выражений для квадратов модуля амплитуд процессов $2 \rightarrow 2$ с реджезованными глюонами и кварками в начальном состоянии. Автоматизированная генерация амплитуд процессов $2 \rightarrow 2$ и $2 \rightarrow 3$ (FeynArts + ReggeQCD).
- Лидирующее приближение:
 - Азимутальная декорреляция пар струй в ЛП ПРП,
 - Процесс Дрелла-Яна в ЛП ПРП в области $Q < M_Z$. Дифференциальные сечения и поляризационные наблюдаемые.
 - Совместное фоторождение фотона и струи в ЛП ПРП. *Точный учет подпроцесса $\gamma R \rightarrow \gamma g$.*
- Рождение пар изолированных прямых фотонов в **неполном СЛП ПРП**. *Учет поправок $2 \rightarrow 3$ и вычитание двойного счета. Точный учет подпроцесса $RR \rightarrow \gamma\gamma$.*
- Физика тяжелых кваркониев в ЛП ПРП. p_T -спектры и **поляризационные наблюдаемые**.

Публикации

[Статьи ВАК (Phys. Rev. D + 1 статья в ЯФ)]: **7**, [Труды конференций]: **3**,
[Препринты]: **1**.

Задачи:

- Вывод выражений для квадратов модуля амплитуд процессов $2 \rightarrow 2$ с реджезованными глюонами и кварками в начальном состоянии. Автоматизированная генерация амплитуд процессов $2 \rightarrow 2$ и $2 \rightarrow 3$ (FeynArts + ReggeQCD).
- Лидирующее приближение:
 - Азимутальная декорреляция пар струй в ЛП ПРП [Nefedov, Saleev, Shipilova, 2013],
 - Процесс Дрелла-Яна в ЛП ПРП в области $Q < M_Z$. Дифференциальные сечения и поляризационные наблюдаемые [Nefedov, Nikolaev, Saleev, 2013].
 - Совместное фоторождение фотона и струи в ЛП ПРП. Точный учет подпроцесса $\gamma R \rightarrow \gamma g$. [Kniehl, Nefedov, Saleev, 2014]; [Kniehl, Nefedov, Saleev, 2016]
- Рождение пар изолированных прямых фотонов в **неполном СЛП ПРП**. Учет поправок $2 \rightarrow 3$ и вычитание двойного счета. Точный учет подпроцесса $RR \rightarrow \gamma\gamma$. [Nefedov, Saleev, 2015]
- Физика тяжелых кваркониев в ЛП ПРП. p_T -спектры и **поляризационные наблюдаемые** [Nefedov, Saleev, Shipilova, 2012; 2013; 2013; 2015] [Kniehl, Nefedov, Saleev, 2016].

Матричные элементы подпроцессов $2 \rightarrow 2$ в ЛП ПРП.

В работе [Nefedov, Saleev, Shipilova, 2013] вычислены квадраты модуля амплитуд следующих партоновых подпроцессов:

$$R(q_1) + R(q_2) \rightarrow g(q_3) + g(q_4),$$

$$R(q_1) + R(q_2) \rightarrow q(q_3) + \bar{q}(q_4),$$

$$Q(q_1) + R(q_2) \rightarrow q(q_3) + g(q_4),$$

$$Q(q_1) + Q(q_2) \rightarrow q(q_3) + q(q_4),$$

$$Q(q_1) + Q'(q_2) \rightarrow q(q_3) + q'(q_4),$$

$$Q(q_1) + \bar{Q}(q_2) \rightarrow q(q_3) + \bar{q}(q_4),$$

$$Q(q_1) + \bar{Q}(q_2) \rightarrow q'(q_3) + \bar{q}'(q_4),$$

$$Q(q_1) + \bar{Q}(q_2) \rightarrow g(q_3) + g(q_4),$$

где $q_{1,2}^\mu = x_{1,2} P_{1,2}^\mu + q_{T1,2}^\mu$, $q_{1,2}^2 = -\mathbf{q}_{T1,2}^2 = -t_{1,2}^2$.

Продольные и поперечные переменные.

Матричный элемент процесса $2 \rightarrow 2$ в ПРП:

$$\overline{|\mathcal{A}|^2}_{PRA}^{2 \rightarrow 2} = \pi^2 \alpha_s^2 A \sum_{n=0}^4 W_n S^n.$$

зависит от Манделстаммовских инвариантов

$s = (q_1 + q_2)^2$, $t = (q_3 - q_1)^2$, $u = (q_4 - q_1)^2$, t_1, t_2 и **продольных переменных**:

$$a_{3,4} = q_{3,4}^+ / \sqrt{S}, \quad b_{3,4} = q_{3,4}^- / \sqrt{S}.$$

Коллинеарный предел для матричного элемента в ПРП:

$$\int_0^{2\pi} \frac{d\phi_1 d\phi_2}{(2\pi)^2} \lim_{t_{1,2} \rightarrow 0} \overline{|\mathcal{A}|^2}_{PRA} = \overline{|\mathcal{M}|^2}_{CPM},$$

определен в терминах **поперечных переменных**:

$$s, t, u, t_1, t_2, \phi_1, \phi_2, |\mathbf{q}_{T3}|, |\mathbf{q}_{T4}|.$$

Поперечные переменные не меняются при масштабировании векторов n^\pm :

$$n^+ \rightarrow \zeta n^+, \quad n^- \rightarrow n^- / \zeta,$$

по этому, для существования коллинеарного предела, амплитуда должна зависеть только от комбинаций вида $a_i b_j$.

Коэффициенты для случая $RR \rightarrow gg$:

$$\begin{aligned}
 A &= \frac{18}{a_3 a_4 b_3 b_4 s^2 t^2 u^2 t_1 t_2}, \\
 W_0 &= x_1 x_2 s^2 t u t_1 t_2 (x_1 x_2 (t u + t_1 t_2) + (a_3 b_4 + a_4 b_3) t u), \\
 W_1 &= x_1 x_2 s t_1 t_2 \left[t^2 u \left(a_3 b_4 (a_4 b_4 + a_3 x_2) (t_1 + t_2) - a_4 b_3 (a_3 b_3 t_1 + a_4 b_4 t_2) + \right. \right. \\
 &\quad \left. \left. + (x_2 (a_3^2 b_4 + a_4^2 b_3) + a_3 a_4 (b_3 - b_4)^2) u + x_1 x_2 a_3 b_4 t \right) \right] \\
 &\quad + \left[a_3 \leftrightarrow a_4, b_3 \leftrightarrow b_4, t \leftrightarrow u \right], \\
 W_2 &= a_3 a_4 b_3 b_4 t u \left(x_1^2 x_2^2 [2(t_1 + t_2)(t^2 u + t_1 t_2 (s + u - t)) \right. \\
 &\quad \left. + t u ((t_1 - t_2)^2 + t(u + 2t))] + \right. \\
 &\quad \left. + x_1 x_2 t t_1 t_2 (4(x_1 b_3 + x_2 a_4)(s + u) - (a_3 b_3 + a_4 b_4) u) + \right. \\
 &\quad \left. + t u (x_1^2 b_4 (2x_2 t - b_3 t_1) t_1 + x_2^2 a_3 (2x_1 t - a_4 t_2 t_2)) \right) \\
 &\quad + \left(a_3 \leftrightarrow a_4, b_3 \leftrightarrow b_4, t \leftrightarrow u \right),
 \end{aligned}$$

Коэффициенты для случая $RR \rightarrow gg$:

$$\begin{aligned}
 W_3 &= x_1 x_2 a_3 a_4 b_3 b_4 \left[t^2 u \left(2a_3 b_4 (x_1 x_2 (t_1 + t_2) (2t - u - s) \right. \right. \\
 &\quad \left. \left. - (x_1 b_4 t_1 + x_2 a_3 t_2) (u + s) \right) + \right. \\
 &\quad \left. + [x_1 t_1 (2(a_3 b_4^2 + a_4 b_3^2) + 3x_1 b_3 b_4) + x_2 t_2 (2(a_3^2 b_4 + a_4^2 b_3) + 3a_3 a_4 x_2)] u + \right. \\
 &\quad \left. + 4x_1 x_2 t ((a_3 b_4 + a_4 b_3) u + a_3 b_4 t) \right] + [a_3 \leftrightarrow a_4, b_3 \leftrightarrow b_4, t \leftrightarrow u], \\
 W_4 &= x_1^2 x_2^2 a_3 a_4 b_3 b_4 \left[t \left(a_3 a_4 b_3 b_4 u (t_1 + t_2) (t - u - s) + (a_3 b_4 + a_4 b_3)^2 t u^2 - \right. \right. \\
 &\quad \left. \left. - 2a_3 b_4 t (s + u) (2a_4 b_3 u - a_3 b_4 s) \right) \right] + [a_3 \leftrightarrow a_4, b_3 \leftrightarrow b_4, t \leftrightarrow u].
 \end{aligned}$$

Азимутальная декорреляция адронных струй

Полученные результаты в сочетании с нПФР КМР были применены для описания спектров азимутальной декорреляции адронных струй на БАК [Nefedov, Saleev, Shipilova, 2013].

Процесс:

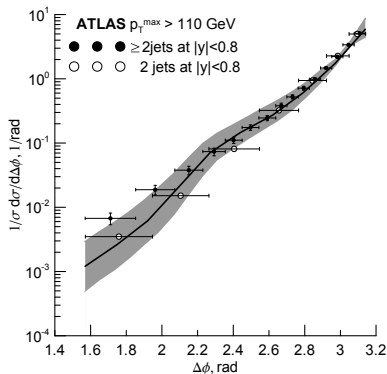
$$p + p \rightarrow j_1 + j_2 + X.$$

Наблюдаемая

$$F(\Delta\phi) = \frac{1}{\sigma} \frac{d\sigma}{d\Delta\phi},$$

где $\Delta\phi$ – азимутальный угол между поперечными импульсами струй.

В ЛП КИМ $F(\Delta\phi) \sim \delta(\Delta\phi - \pi)$.



Процесс Дрелла-Яна в ЛП ПРП.

Процесс:

$$p + p(\bar{p}) \rightarrow l^+(q_3) + l^-(q_4) + X,$$

партонный подпроцесс в ЛП [Nefedov, Nikolaev, Saleev, 2013]:

$$Q(q_1) + \bar{Q}(q_2) \rightarrow \gamma^* \rightarrow l^+(q_3) + l^-(q_4).$$

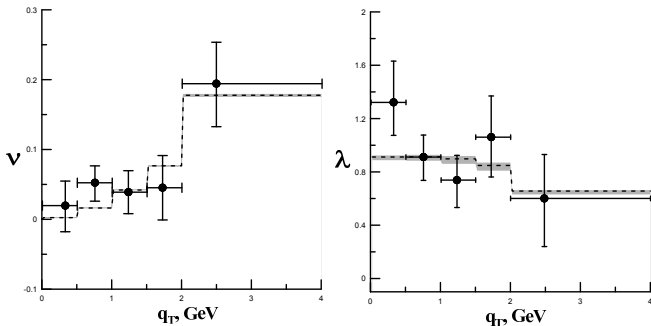
В ЛП ПРП доступны спектры по $Q^2 = (q_3 + q_4)^2$, $q_T = |\mathbf{q}_{T3} + \mathbf{q}_{T4}|$, быстрой паре и поляризационные наблюдаемые, связанные с угловым распределением лептонов в ИСО ЦМ лептонной пары:

$$\frac{d\sigma}{d\Omega} \sim 1 + \lambda \cos^2 \theta + \mu \sin 2\theta \cos \phi + \frac{\nu}{2} \sin^2 \theta \cos 2\phi,$$

где $\lambda = \lambda(Q^2, q_T)$, $\mu = \mu(Q^2, q_T)$, $\nu = \nu(Q^2, q_T)$ – поляризационные наблюдаемые.

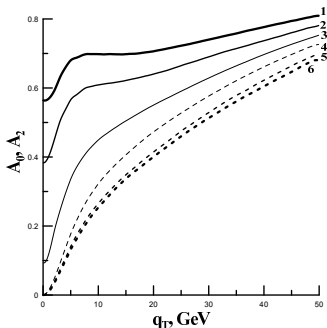
Процесс Дрелла-Яна в ЛП ПРП – результаты.

- Описание распределений по Q^2 и q_T для всех имеющихся данных в области $Q < M_Z$ в диапазоне энергий $44 < \sqrt{S} < 1800$ ГэВ.
- Описание данных о поляризации виртуального фотона, полученных коллаборацией NuSea ($\sqrt{S} = 39$ ГэВ):



Процесс Дрелла-Яна в ЛП ПРП – результаты.

Обнаружено сильное нарушение соотношения Лама-Тунга ($A_0 = A_2$, $A_0 = 2(1 - \lambda)/(3 + \lambda)$ и $A_2 = 4\nu/(3 + \lambda)$) в области малых x .



$5 < Q < 50$ ГэВ, сплошные
кривые – A_0 , штриховые – A_2 ,
кривые 3,4 – $\sqrt{S} = 2$ ТэВ,
кривые 2,5 – $\sqrt{S} = 7$ ТэВ,
кривые 1,6 – $\sqrt{S} = 14$ ТэВ.

В ЛП ПРП $A_2(q_T = 0) = 0$, в то время как

$$A_0(q_T = 0) = \frac{\sum_q \int dt \Phi_q^p(x_1, t) \Phi_q^p(x_2, t) \times 4t}{\sum_q \int dt \Phi_q^p(x_1, t) \Phi_q^p(x_2, t) \times (Q^2 + 2t)},$$

определяется конфигурациями в которых
 $q_{T2} = -q_{T1}$.

Совместное фоторождение фотона и струи (DESY HERA)

Процесс

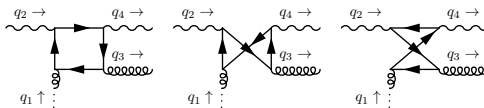
$$(e \rightarrow)\gamma(Q^2 \ll S) + p \rightarrow \gamma + j + X,$$

прямые подпроцессы в ЛП ПРП [Kniehl, Nefedov, Saleev, 2014]:

$$\gamma + Q(t_1) \rightarrow \gamma + q, \quad (1)$$

$$\gamma + R(t_1) \rightarrow \gamma + g, \quad (2)$$

для подпроцесса (2) выведены спиральные амплитуды, учитывающие виртуальность реджеона t_1 .



Подпроцесс с разрешенной партонной структурой фотона:

$$(\gamma \rightarrow)q + R \rightarrow \gamma + q.$$

Спиральные амплитуды для $\gamma R \rightarrow \gamma g$.

Спиральная амплитуда ($C^{ab} = \frac{(4\pi)^2 \alpha \alpha_s}{(2\pi)^4} \frac{\delta_{ab}}{2} \sum_q e_q^2$):

$$\mathcal{M}(R\lambda_2, \lambda_3\lambda_4) = -\frac{q_1^+}{2\sqrt{t_1}} (n_-)_{\mu_1} \varepsilon_{\mu_2}(1, -\lambda_2) \varepsilon_{\mu_3}^*(2, \lambda_3) \varepsilon_{\mu_4}^*(2, -\lambda_4) \mathcal{M}^{\mu_1\mu_2\mu_3\mu_4} C^{ab},$$

где

$$\begin{aligned} \mathcal{M}^{\mu_1\mu_2\mu_3\mu_4} = & 2 \int d^D q \left\{ \frac{\text{tr}[(\hat{q} - \hat{q}_1)\gamma^{\mu_3}(\hat{q} + \hat{q}_2 - \hat{q}_4)\gamma^{\mu_4}(\hat{q} + \hat{q}_2)\gamma^{\mu_2}\hat{q}\gamma^{\mu_1}]}{(q - q_1)^2(q + q_2 - q_4)^2(q + q_2)^2q^2} \right. \\ & \left. + (q_3 \leftrightarrow q_4, \mu_3 \leftrightarrow \mu_4) + (q_4 \leftrightarrow -q_2, \mu_4 \leftrightarrow \mu_2) \right\}, \end{aligned}$$

$$\varepsilon(j, \lambda) = \frac{1}{\sqrt{2}} \left(n_x^{(j)} + i\lambda n_y^{(j)} \right),$$

$$n_x^{(1)} = \frac{1}{\Delta} [(q_2 \cdot q_3)q - (q \cdot q_3)q_2 - (q \cdot q_2)q_3],$$

$$n_x^{(2)} = \frac{1}{\Delta} [(q_3 \cdot q_4)q - (q \cdot q_4)q_3 - (q \cdot q_3)q_4],$$

$$(n_y^{(1)})^\mu = -(n_y^{(2)})^\mu = \frac{1}{\Delta} \epsilon^{\mu q_2 q_3 q_4} \equiv n_y^\mu,$$

где $\Delta = \sqrt{stu}/2$.

Спиральные амплитуды для $\gamma R \rightarrow \gamma g$.

Спиральная амплитуда ($C^{ab} = \frac{(4\pi)^2 \alpha \alpha_s}{(2\pi)^4} \frac{\delta_{ab}}{2} \sum_q e_q^2$):

$$\mathcal{M}(R\lambda_2, \lambda_3\lambda_4) = -\frac{q_1^+}{2\sqrt{t_1}} (n_-)_{\mu_1} \varepsilon_{\mu_2}(1, -\lambda_2) \varepsilon_{\mu_3}^*(2, \lambda_3) \varepsilon_{\mu_4}^*(2, -\lambda_4) \mathcal{M}^{\mu_1\mu_2\mu_3\mu_4} C^{ab}.$$

свойства n_y :

$$q_2 \cdot n_y = q_3 \cdot n_y = q_4 \cdot n_y = n_+ \cdot n_y = 0, \quad n_y^2 = -1,$$

разложим n_- по базису:

$$n_- = \alpha n_+ + \beta_1 q_3 + \beta_2 q_4 + \gamma n_y,$$

в коллинеарном пределе $t_1 \rightarrow 0$, $\gamma \rightarrow 0$:

$$\gamma_1 = \frac{q_3^+ \Delta}{\sqrt{t_1}} \gamma = \frac{u}{\sqrt{t_1}} |\mathbf{q}_{T3}| |\mathbf{q}_{T4}| \sin(\Delta\phi), \quad \gamma_1 \rightarrow 2 \frac{u}{s} \Delta \sin \phi_1,$$

$$\gamma_2 = 2\xi_2 \sqrt{stu - \frac{(t+u)^2}{u^2} \gamma_1^2}, \quad \gamma_2 \rightarrow 4\Delta \cos \phi_1.$$

$$\mathcal{M}(R+, ++) = C^{ab} \mathcal{M}(t, u, t_1, \{f_i^{(1)}\}, \mathcal{R}_1),$$

$$\mathcal{M}(R+, +-) = C^{ab} \mathcal{M}(s, t, t_1, \{f_i^{(2)}\}, \mathcal{R}_2),$$

$$\mathcal{M}(R+, -+) = C^{ab} \mathcal{M}(s, u, t_1, \{f_i^{(3)}\}, \mathcal{R}_3),$$

$$\mathcal{M}(R+, --) = C^{ab} \frac{i\pi^2 4\sqrt{2}}{u\Delta} (t+u)\gamma_1,$$

$$\begin{aligned} \mathcal{M}(t, u, t_1, \{f_i\}, \mathcal{R}) = & \frac{i\pi^2}{\sqrt{2}\Delta^3(t+u)} \{f_1 [B_0(t) - B_0(-t_1)] + f_2 [B_0(u) - B_0(-t_1)] \\ & + f_3 E(t_1, t, u) + \mathcal{R}\}, \end{aligned}$$

где

$$E(t_1, t, u) = tC_0(t) + uC_0(u) + (t+t_1)C_0(-t_1, t) + (u+t_1)C_0(-t_1, u) - tuD_0(-t_1, t, u).$$

коэффициенты для $(R+, ++)$:

$$f_1^{(1)} = \frac{-it^2}{2(t+t_1)^2} \left\{ 2(s+2u)(t+t_1)(t+u)^2 \gamma_1 + 4isu^2 [2t(t+t_1) - ut_1] \sqrt{t_1} \right. \\ \left. + u [s^2(s+t_1) + 3su(s-t_1) + 2u^2(s-t_1)] i\gamma_2 \right\},$$

$$f_2^{(1)} = \frac{-itu}{2(u+t_1)^2} \left\{ 2(s+2t)(u+t_1)(t+u)^2 \gamma_1 + 4istu [tt_1 - 2u(u+t_1)] \sqrt{t_1} \right. \\ \left. + u [s^3 + s^2(3t+t_1) + st(2t-3t_1) - 2t^2t_1] i\gamma_2 \right\},$$

$$f_3^{(1)} = \frac{-it}{4s} \left\{ 2(t+u)^2 [t^2 + t_1t + u(u+t_1)] \gamma_1 + 4istu^2(u-t) \sqrt{t_1} \right. \\ \left. + u [t^3 + t^2(u+t_1) + tu(u-2t_1) + u^2(u+t_1)] i\gamma_2 \right\},$$

$$\mathcal{R}_1 = \frac{st^2u^2}{(t+t_1)(u+t_1)} [(t_1-s)\gamma_2 + 2s(t-u)\sqrt{t_1}],$$

коэффициенты для $(R+, + -)$:

$$f_1^{(2)} = \frac{-is^2t}{2u} [2(t+u)(2t+u)\gamma_1 - 4itu^2\sqrt{t_1} - u(2t+u)i\gamma_2],$$

$$f_2^{(2)} = \frac{ist^2}{2u(t+t_1)^2} \{2(2s+u)(t+t_1)(t+u)^2\gamma_1 - 4isu^2[ut_1 + t(t+t_1)]\sqrt{t_1} - u[2(s+t_1)s^2 + 3su(s+t_1) + u^2(s-t_1)]i\gamma_2\},$$

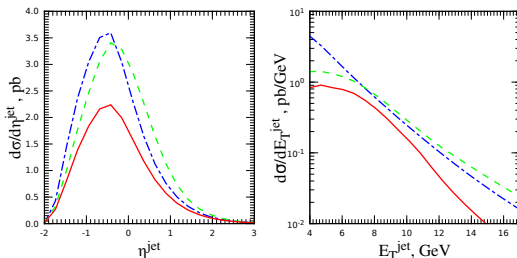
$$f_3^{(2)} = \frac{ist}{4u^2} \{2[s^2 + t_1s + t(t+t_1)](t+u)^2\gamma_1 + 4ist^2u^2\sqrt{t_1} - u[u^3 + u^2(3t+t_1) + tu(4t+t_1) + 2t^2(t+t_1)]i\gamma_2\},$$

$$\mathcal{R}_2 = -\frac{s^2t^2u}{t+t_1} (2u\sqrt{t_1} + \gamma_2).$$

Коэффициенты для $(R+, + -)$ получаются перестановкой частиц в конечном состоянии:

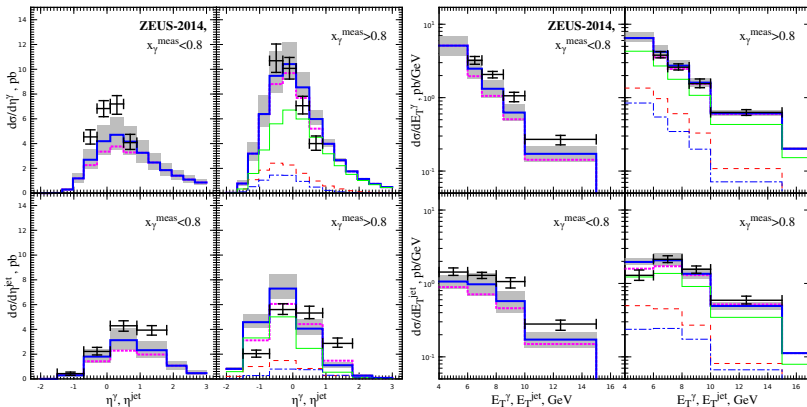
$$t \leftrightarrow u, \quad \sqrt{t_1} \rightarrow -\sqrt{t_1}, \quad \gamma_1 \rightarrow \gamma_1 \frac{t}{u}.$$

Эффект учета виртуальности в амплитуде $\gamma R \rightarrow \gamma g$:



Сплошная красная – точная амплитуда в ПРП, штриховая зеленая – амплитуда КПМ в кинематике k_T -факторизации, штрих-пунктирная синяя – результат КПМ.

Описание данных ZEUS-2014 (DESY HERA)



Инклюзивное рождение пар изолированных прямых фотонов в неполном СЛП ПРП

Процесс

$$p + p(\bar{p}) \rightarrow \gamma + \gamma + X,$$

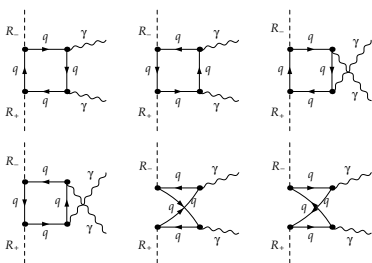
подпроцессы $2 \rightarrow 2$ [Nefedov, Saleev, 2015] (ЛП ПРП):

$$Q + \bar{Q} \rightarrow \gamma + \gamma, \quad (3)$$

$$R + R \rightarrow \gamma + \gamma, \quad (4)$$

для подпроцесса (4) выведены спиральные амплитуды с точной зависимостью от виртуальностей партонов $t_{1,2}$.

$R_- R_+ \rightarrow \gamma \gamma$



Особенности вычислений для $RR \rightarrow \gamma\gamma$:

- Использовалось разложение для $\frac{qT_{1,2}}{\sqrt{t_{1,2}}}$.
- Коэффициенты при однопетлевых интегралах – полиномы зав. от 13 параметров $\Rightarrow \sim 10^5$ членов.
- Для численной проверки сокращения УФ и ИК расходимостей и получения численного ответа, часть вычислений приходится проводить с использованием “длинной” арифметики (≥ 30 знаков).

Инклюзивное рождение пар изолированных прямых фотонов в неполном СЛП ПРП

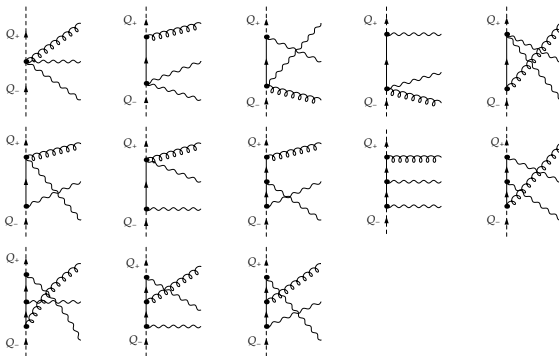
Подпроцессы $2 \rightarrow 3$ [Nefedov, Saleev, 2015] (СЛП ПРП):

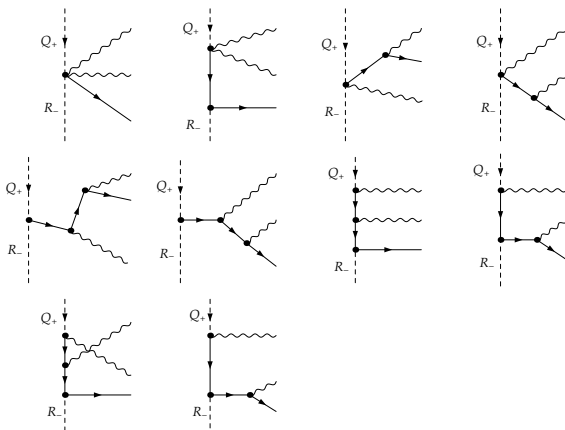
$$Q(q_1) + \bar{Q}(q_2) \rightarrow \gamma(q_3) + \gamma(q_4) + g(q_5), \quad (5)$$

$$Q(q_1) + \bar{R}(q_2) \rightarrow \gamma(q_3) + \gamma(q_4) + q(q_5), \quad (6)$$

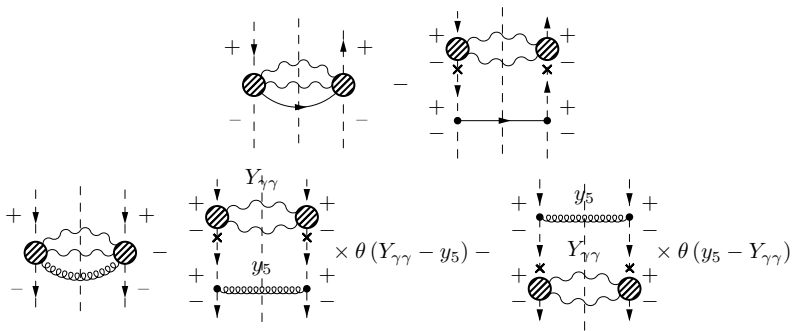
сечение подпроцесса (5) в ПРП конечно, для вычисления сечения подпроцесса (6) использовалось условие изоляции Фриксione [Frixione, 1998]. Однако подпроцессы (5) и (6) требуют вычитания двойного счета с ЛП, когда $y_5 \rightarrow \pm\infty$ (МРК) или $\mathbf{q}_{T5} \rightarrow 0$ (коллинеарная факторизация).

Подпроцесс $Q\bar{Q} \rightarrow \gamma\gamma g$.

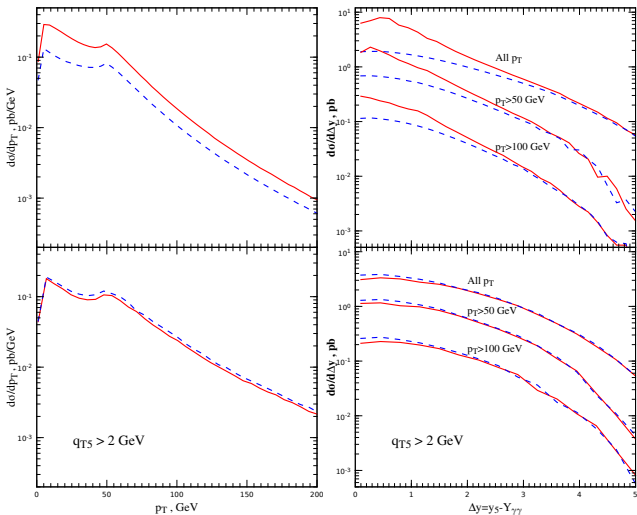


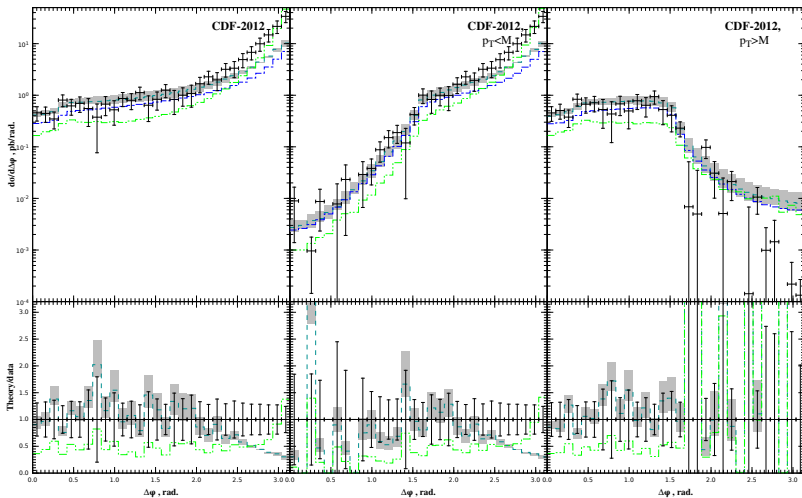
Подпроцесс $QR \rightarrow \gamma\gamma q$.

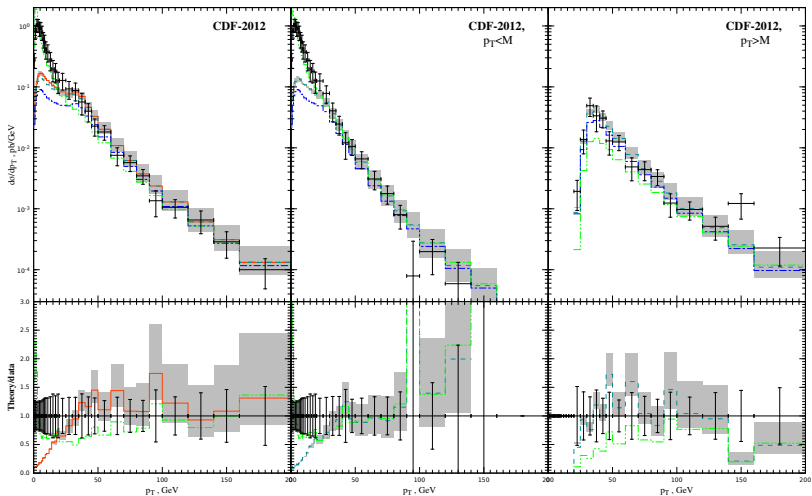
Процедура вычитания двойного счета (локализации КМРК-вклада по быстроте).

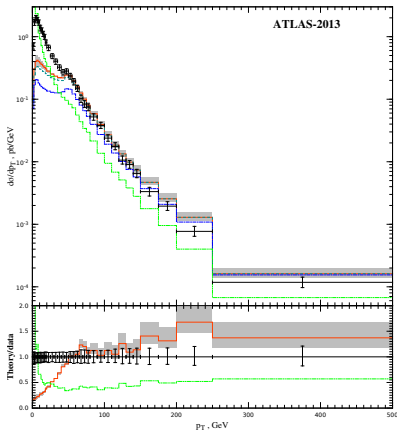
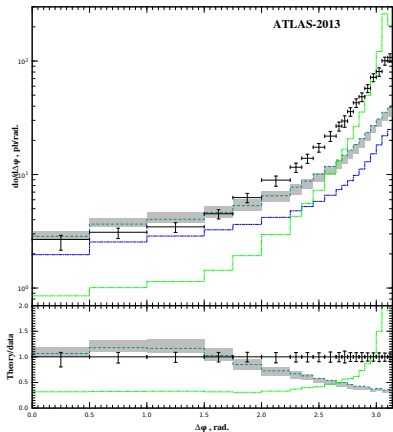


Процедура вычитания двойного счета (локализации КМРК-вклада по быстройте).



Азимутальная декорреляция (Теватрон, $\sqrt{S} = 1.96$ ТэВ)

p_T -спектр (Теватрон, $\sqrt{S} = 1.96$ ТэВ)


Азимутальная декорреляция и p_T -спектр (LHC, $\sqrt{S} = 7$ ТэВ).

Рождение тяжелых кваркониев в ПРП.

Гипотеза НРКХД-факторизации[Bodwin, Braaten, Lepage, 1995]:

$$d\sigma(\mathcal{H} + X) = \sum_n d\sigma_n \langle 0 | \mathcal{O}_n^{\mathcal{H}} | 0 \rangle,$$

где $\langle 0 | \mathcal{O}_n^{\mathcal{H}} | 0 \rangle = \langle \mathcal{O}^{\mathcal{H}}[n] \rangle$ – непертурбативный матричный элемент (НМЭ) НРКХД-оператора $\mathcal{O}_n^{\mathcal{H}} = \sum_X \Phi^\dagger \mathcal{K}_n \Psi | \mathcal{H} + X \rangle \langle \mathcal{H} + X | \Psi^\dagger \mathcal{K}_n^\dagger \Phi$, рождающего

Фоковское состояние $q\bar{q}[n]$, где $n = 2S+1 L_J^{(1,8)}$.

ЛП по относительной скорости (v^2), для физического состояния $\mathcal{H} [^{2S+1}L_J]$:

$$\langle \mathcal{O}^{\mathcal{H}} [^{2S+1}L_J^{(1)}] \rangle.$$

СЛП по v^2 :

$$\langle \mathcal{O}^{\mathcal{H}} [^{2S+1}L_J^{(8)}] \rangle, \langle \mathcal{O}^{\mathcal{H}} [^{2S+1}(L \pm 1)_{J'}^{(8)}] \rangle, \langle \mathcal{O}^{\mathcal{H}} [^{2(S \pm 1) + 1}L_{J'}^{(8)}] \rangle.$$

Синглетные НМЭ определены в потенциальной модели:

$$\begin{aligned} \langle \mathcal{O}^{\mathcal{H}} [^{2S+1}S_J^{(1)}] \rangle &= 2N_c(2J+1) \frac{1}{4\pi} |R(0)|^2, \\ \langle \mathcal{O}^{\mathcal{H}} [^{2S+1}P_J^{(1)}] \rangle &= 2N_c(2J+1) \frac{3}{4\pi} |R'(0)|^2. \end{aligned}$$

Рождение тяжелых кваркониев в ПРП.

Гипотеза НРКХД-факторизации [Bodwin, Braaten, Lepage, 1995]:

$$d\sigma(\mathcal{H} + X) = \sum_n d\sigma_n \langle \mathcal{O}^{\mathcal{H}} [n] \rangle.$$

подпроцессы в ЛП ПРП [Kniehl, Saleev, Vasin, 2005]:

$$\begin{aligned} R + R &\rightarrow q\bar{q} \left[{}^3S_1^{(1)} \right] + g, \\ R + R &\rightarrow q\bar{q} \left[{}^3P_J^{(1)} \right], \quad J = 0, 1, 2, \\ R + R &\rightarrow q\bar{q} \left[{}^3S_1^{(8)}, {}^1S_0^{(8)}, {}^3P_J^{(8)} \right], \end{aligned}$$

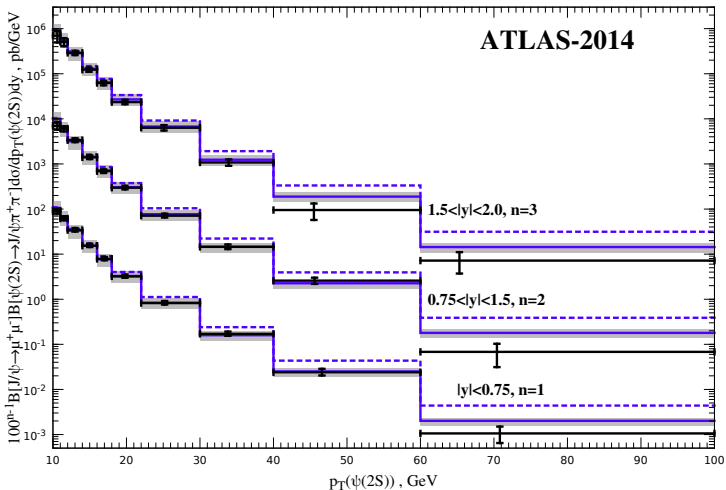
Рождение чармониев и боттомониев, новые результаты.

- [Nefedov, Saleev, Shipilova, 2012] На основе фита НМЭ по данным Теватрона ($\sqrt{S} = 1.96$ ТэВ) описаны данные коллабораций ATLAS, CMS и LHCb ($\sqrt{S} = 7$ ТэВ) о p_T -спектрах прямых J/ψ -мезонов.
- [Nefedov, Saleev, Shipilova, 2013] Получено самосогласованное описание имеющихся данных о p_T -спектрах $\Upsilon(1S)$, $\Upsilon(2S)$ и $\Upsilon(3S)$ -мезонов.
- [Kniehl, Nefedov, Saleev, 2016] Проанализирована роль фрагментационного механизма рождения $\psi(2S)$ -мезона на больших $p_T \gg M_{\psi(2S)}$:

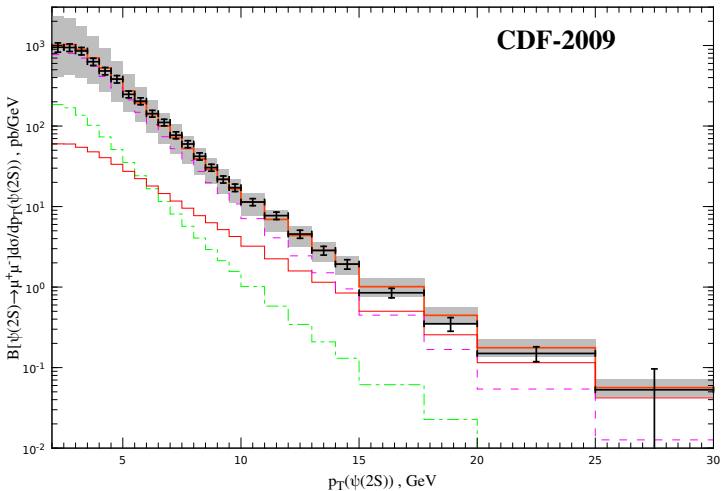
$$\frac{d\sigma^{\psi(2S)}}{dp_T(\psi(2S))} = \int_0^1 dz \frac{d\sigma^{RR \rightarrow g}}{dp_T(g)} \left(p_T(g) = \frac{p_T(\psi(2S))}{z} \right) \cdot D_{g \rightarrow \mathcal{H}[3S_1^{(8)}]}(z, \mu^2 = p_T^2),$$

где функция фрагментации $D_{g \rightarrow \mathcal{H}[3S_1^{(8)}]}(z, \mu^2)$ является решением уравнения ДГЛАП с начальным условием на стартовом масштабе $\mu_{F0} = M_{\mathcal{H}}$:

$$D_{g \rightarrow \mathcal{H}[3S_1^{(8)}]}(z, \mu_{F0}^2) = \frac{\pi\alpha_s(\mu_{F0}^2)}{6M_{\mathcal{H}}^3} \langle \mathcal{O}_{\mathcal{H}}[3S_1^{(8)}] \rangle \delta(1-z).$$

Роль фрагментации в рождении $\psi(2S)$.

Описание данных CDF.



Результаты фита НМЭ

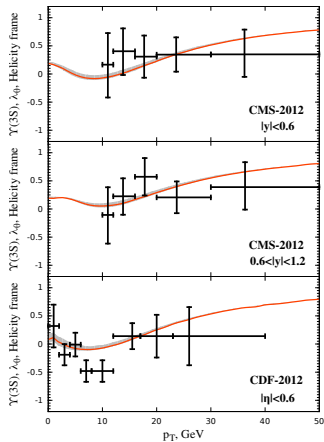
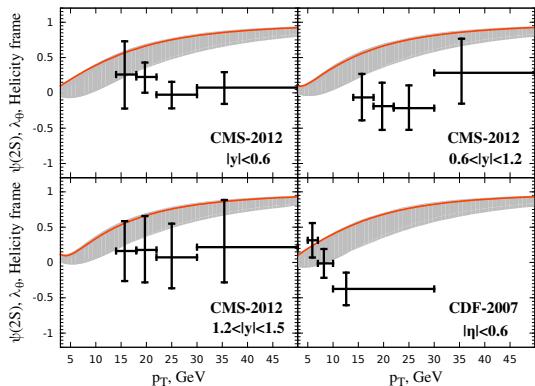
НМЭ	МС	МФ	СЛП КИМ [1, 2]	СЛП КИМ [3]
$\langle \mathcal{O}_{\psi(2S)} [3S_1^{(1)}] \rangle / \text{GeV}^3$	0.65 ± 0.06 [4]	0.65 ± 0.06	0.76 [5]	0.76
$\langle \mathcal{O}_{\psi(2S)} [3S_1^{(8)}] \rangle / \text{GeV}^3 \times 10^3$	1.84 ± 0.23	2.57 ± 0.09	1.2 ± 0.3	2.80 ± 0.49
$M_R^{\psi(2S)} / \text{GeV}^3 \times 10^2$	3.11 ± 0.14	2.70 ± 0.11	2.0 ± 0.6	5.31 ± 4.85
$R_{\psi(2S)}$	23.0 ± 1.0	23.0 ± 1.0	23.0	23.0
$\chi^2/\text{d.o.f.}$	0.6	1.1	0.56	–
$\langle \mathcal{O}_{\Upsilon(3S)} [3S_1^{(1)}] \rangle / \text{GeV}^3$	3.54 [5]	–	3.54	–
$\langle \mathcal{O}_{\Upsilon(3S)} [3S_1^{(8)}] \rangle / \text{GeV}^3 \times 10^2$	2.73 ± 0.15	–	2.71 ± 0.13	–
$M_R^{\Upsilon(3S)} / \text{GeV}^3 \times 10^2$	0.00 ± 0.18	–	1.083 ± 1.66	–
$R_{\Upsilon(3S)}$	22.1 ± 0.7	–	22.1	–
$\chi^2/\text{d.o.f.}$	9.7	–	3.16	–

[1] Shao, *et al.*, 2015;[2] Gong, *et al.*, 2014;

[3] Kniehl, Butenschoen, 2015;

[4] $\Gamma(\psi(2S) \rightarrow \mu^+ \mu^-)$, NLO;

[5] потенциальная модель, [Eichten, Quigg, 1995].

Описание поляризации $\psi(2S)$ и $\Upsilon(3S)$.

Заключение.

ПРП – оптимальный подход для вычисления наблюдаемых, чувствительных к многократному излучению дополнительных жестких партонов (p_T -спектры, азимутальная декорреляция, поляризационные наблюдаемые). Для повышения точности необходимо обобщение подхода до полного СЛП.

- Получен ряд новых феноменологических результатов в ЛП ПРП
- Выведены все древесные амплитуды партонных подпроцессов $2 \rightarrow 2$ в ПРП. Автоматизирован вывод амплитуд $2 \rightarrow 3$.
- Выполнены расчеты однопетлевых вкладов $\gamma R \rightarrow \gamma g$ и $RR \rightarrow \gamma\gamma$ с учетом виртуальности реджеонов.
- Введена процедура вычитания двойного счета для древесных СЛП вкладов, являющаяся необходимым элементом расчетов в полном СЛП.
- Получены важные феноменологические результаты в области физики рождения тяжелых кваркониев. **Polarization puzzle** для чармониев существует и в ПРП.

Благодарю за внимание!